

ОПРЕДЕЛЕНИЕ ЗНАКА ЗАРЯДА РЕЛЯТИВИСТИЧЕСКИХ ЧАСТИЦ В ФОТОГРАФИЧЕСКОЙ ЭМУЛЬСИИ, ОБЛУЧЕННОЙ В МАГНИТНОМ ПОЛЕ СРЕДНЕЙ ИНТЕНСИВНОСТИ

МАРИАННА КАРАБОВА, (Marianna Karabova), ЭМАНУЭЛ СИДЕШ, (Emanuel Sides), ЙОЗЕФ ТУБЕК, (Josef Tůbek), ОНДРЕЙ ЧАДА, (Ondřej Čada),
Коплице,

Содержанием данной работы является количественная проверка возможности определить знак заряда частицы, оставившей в фотографической эмульсии т. наз. релятивистский трек. Наше внимание было сосредоточено прежде всего на применении последовательного анализа, чтобы понизить как можно больше объем измерений, необходимых для получения результата с данной степенью достоверности. В качестве экспериментального материала послужили фотографические эмульсии НИКФИ BR-2, облученные в магнитном поле интенсивности $4 \cdot 10^4$ гауссов пучком π -мезонов с энергией 3,65 · 10⁹ эв. Эмульсии были облучены на синхрофазотроне Лаборатории высоких энергий ОИЯИ в Дубне.

ХАРАКТЕРИСТИКИ МНОГОКРАТНОГО РАССЕЙЯНИЯ ЧАСТИЦЫ В ФОТОГРАФИЧЕСКОЙ ЭМУЛЬСИИ В МАГНИТНОМ ПОЛЕ

Многократное рассеяние частицы в фотографической эмульсии измеряется с помощью координатного метода [1]. Трек частицы делится на одинаковые отрезки длины l (т. наз. ячейки) и в концевых точках этих отрезков измеряются отклонения трека перпендикулярно по отношению к направлению главного вылета столбика микроскопа, которое приблизительно параллельно треку. Из этих отклонений вычисляются их вторые моменты. Набор вторых моментов представляет собой основной источник информации, как о многократном рассеянии, так и об отклонении, вызванном магнитным полем, интенсивность которого имеет направление, перпендикулярное к плоскости эмульсии.

Распределение числа вторых моментов определяется тремя основными факторами:

а. Многократным рассеянием частицы, вызванным кулоновскими взаимо-

Действием заряженной частицы с атомными ядрами элементов, содержащихся в эмульсии

б. искривлением трека, вызванным магнитным полем в. т. наз. шумом.

Под шумом мы понимаем не только ошибки, допускаемые нами при отсчитывании на отдельных шкалах, но и отклонения стрелки микроскопа неоднородностью эмульсии и ее химической обработки.

Для треков с относительно большой проекционной длиной мы пренебрегаем влиянием т. наз. дигорски эмульсии и о влияниях, приведенных в а и в предполагаем, что они статистического характера и взаимно независимы. Далее, мы предполагаем, что они возникают путем суперпозиции множества небольших случайных компонентов, из которых при образовании общего отклонения ни один не доминирует. Этим, в основном, обусловлено условие для образования нормального распределения вторых разностей.

Однократное рассеяние на большой угол (т. наз. рассеяние Резерфорда) можно исключить, отрезав отклонения, которые больше чем четырехкратное среднее квадратическое отклонение (т. наз. *сид офф*).

Влияние магнитного поля проявляется в смещении средней величины вторых разностей от нуля по направлению к положительным или отрицательным величинам, в зависимости от знака заряда частицы.

Из приведенных предположений вытекает, что частота появления вторых разностей дается выражением

$$f(D) = [2\pi(\sigma_1^2 + \sigma_2^2)]^{-1} \exp \left[-\frac{(D - \bar{D})^2}{2(\sigma_1^2 + \sigma_2^2)} \right] \quad (1)$$

где σ_1^2 представляет дисперсию многократного рассеяния, σ_2^2 — дисперсию шума и \bar{D} — среднюю величину вторых разностей. Если эмульсия не облучена в магнитном поле, то $\bar{D} = 0$. Для отдельных параметров в выражении (1) при предположении единичного заряда частицы [1] имеем:

$$\bar{D} = C_1 \frac{H}{P}, \quad (2)$$

$$\sigma_1 = C_2 \frac{1}{P\beta} \beta^{3/2} \quad (3)$$

где P — импульс и β — скорость частицы, H — интенсивность магнитного поля и l — длина ячейки. C_1 является постоянной и C_2 лишь слабо зависит от энергии частицы. Этой зависимостью, как правило, пренебрегают.

Величина σ_2 не зависит от H , P и β , но зависит от длины ячейки l , от угла, образуемого треком частицы с поверхностью эмульсии (угол погружения Δ) и от качества фотографического материала. Зависимость от l сильно зависит от качества эмульсии и ее невозможно просто анализировать. Каждую эмульсию необходимо градуировать. Зависимостью от угла Δ в области малых углов можно пренебречь.

Так как интенсивность магнитного поля не настолько сильна, чтобы дать возможность для прямого измерения импульса релятивистской частицы, то мы обращаем внимание на более простую проблему, а именно на определение знака заряда частицы. Проблема определения знака заряда посвящена работе [2]. Ее продолжает работа [3], в которой предложены измерения на импульсах, аккомпанированных космическими лучами при аналогичных условиях (что касается интенсивности магнитного поля) как и наш экспериментальный материал. Знак заряда определяется из разности угловых коэффициентов касательных трека в начале и в конце измеряемого отрезка трека. Примененный угловой метод менее точен и более трудоемок чем координатный метод и использование общего отклонения приводит к потере информации о треке. Нет возможности исключить, или компенсировать однократное резерфордское рассеяние. В работе [4] был разработан оригинальный способ определения знака заряда частицы. Авторы измеряли угловые отклонения вторичных частиц по отношению к трекам первичного пучка. Этот способ требует облучения эмульсии хорошо коллимированным первичным пучком частиц, относительно большой плотности (напр. в вакуумной камере ускорителя). Если измерение проводится только в начале и в конце измеряемого отрезка трека, то остаются затруднения с исключением однократного рассеяния.

ПОСЛЕДОВАТЕЛЬНЫЙ АНАЛИЗ ЗНАКОВ ВТОРЫХ РАЗНОСТЕЙ

Чтобы получать информацию равномерно по всему треку релятивистской частицы, мы обратили внимание на возможность определения знака заряда частицы из последовательности знаков вторых разностей при непрерывной ячейках.

Если P представляет собой вероятность появления второй разности одного знака и $1 - P$ вероятность обратного знака, то появление знаков в последовательности независимых измерений вторых разностей будет равноудовлетворяется биномиальским распределением. Для P вытекает из (1)

$$P = \int_0^{\infty} [2\pi(\sigma_1^2 + \sigma_2^2)]^{-1} \exp \left[-\frac{(D - \bar{D})^2}{2(\sigma_1^2 + \sigma_2^2)} \right] dD. \quad (4)$$

Предполагая, что $|D| < (\sigma_1^2 + \sigma_2^2)^{1/2}$, можно интеграл заменить при близительным выражением (5)

$$P = \frac{1}{2} + \frac{1}{2\sqrt{\pi}} \frac{D}{(\sigma_1^2 + \sigma_2^2)^{1/2}} \quad (5)$$

Если бы $\sigma_2 = 0$, то P было бы независимым от импульса частоты и для данного N оно было бы лишь функцией t (возрастающей как $t^{1/2}$). К этому случаю мы приближаемся при больших t и малых Δ .

Статистическая обработка измеренных последовательностей знаков вторых разностей проводится по методу Вальда [6]. Конкретную форму метода мы употребляем согласно [7]. Главной особенностью этой проверки гипотезы является тот факт, что мы не устанавливаем заранее число измерений, но после каждого измерения мы решаем, является ли частота положительной, отрицательной, или находится ли измеренное множество знаков в области т. наз. индифференции. В последнем случае мы проводим дальнейшие измерения. Результат получаем с риском r , выбираемым таким образом, чтобы вероятность неправильного решения была меньше или равнялась r .

Мы выбираем два числа p_1 и p_2 , для которых верно, что $0 < p_2 < p_1 < 1$ и альтернирующими гипотезами являются:

$$H_1: P > p_1$$

$$H_2: P < p_2.$$

После этого подсчитываем

$$k = \frac{\log(1 - p_1)/(1 - p_2)}{\log p_2/p_1 + \log(1 - p_1)/(1 - p_2)} \quad (6)$$

$$s = \frac{\log(1 - r)^{1/r}}{\log p_2/p_1 + \log(1 - p_1)/(1 - p_2)}$$

и рандомизирован в вычисления

$$L_1(n) = kn + S, \quad L_2(n) = kn + S \quad (7)$$

для $n = 1, 2, 3, \dots$

Из эксперимента получаются числа S_1, S_2, \dots, S_n появления определенного знака при $1, 2, \dots, n$ -ном измерении.

Область индифференции дана выражением

$$L_2(n) < S_n < L_1(n). \quad (8)$$

Если $S_n \geq L_1(n)$, то мы принимаем H_1 , если $S_n \leq L_2(n)$, то мы принимаем H_2 . Вероятность p_2 определяется градуировкой таким образом, что мы

для достаточно большой статистики определим одностороннюю оценку доверительного интервала вероятности данного знака второй разности P для вероятности $1 - r$. Величина p_2 представляет нижнюю границу этого интервала. Величины p_1 и p_2 лежат симметрически к 0,5. Следовательно, $p_1 = 1 - p_2$.

Теория дает среднее число измерений, необходимое для решения в пользу H_1 и H_2 .

$$E_{P_2}(n) = \frac{(1 - 2r) \log(1 - r)^{1/r}}{(2p_2 - 1) \log p_2/(1 - p_2)} \quad (9)$$

Если осторожность после n_0 измерений препятствует в продолжении работы (трек кончается взаимодействием или выходит из блока ампульсий), то можно принять H_1 для $S_{n_0} > 1/2 \times [L_1(n_0) + L_2(n_0)]$. В обратном случае мы принимаем H_2 . Такой прием, однако, увеличивает риск, но последним можно пренебречь для $n_0 \geq 3Er_2(n_0)$.

ИЗМЕРЕНИЕ И ПРИМЕНЕНИЕ МЕТОДА

Измерения проводились на микроскопе КСМ — 2 фирмы Цейсс с измеренным объективом 50х. Установление трека по отношению к шкале проводится с помощью смещения поля зрения относительно неподвижного нитевого креста. Цена деления шкалы — 0,01 μ .

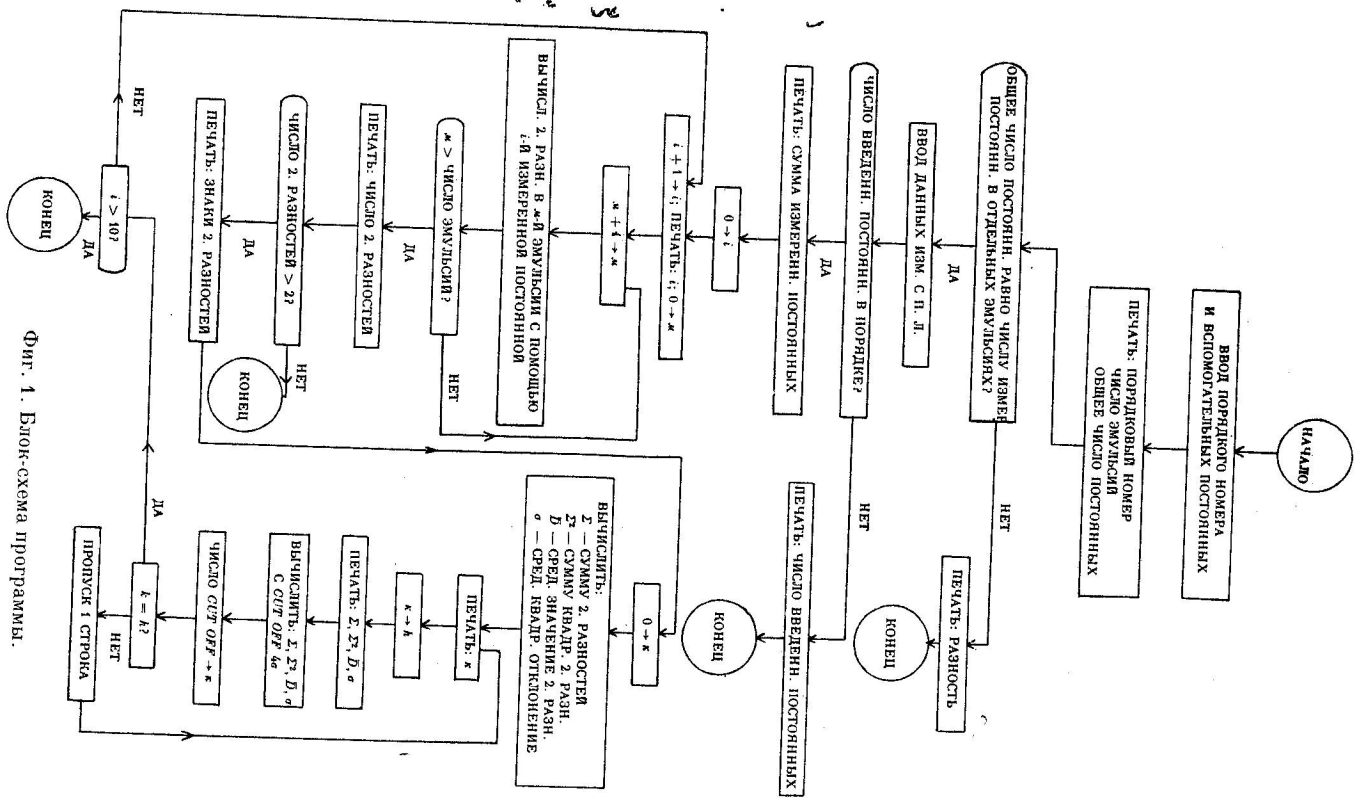
Ионизацию мы определили посредством подсчитывания видимых промежутков между скоплениями зерен при смещении главного винта столика микроскопа по длине 0,5 см на каждом треке, с пересчетом числа промежутков на длину 100 μ .

Так как одной из задач нашей работы было определение оптимальной ячейки, мы выбрали основную длину ячейки 100 μ . Этим, однако, новислись требования относительно масштаба расчетов, которые мы осуществили на вычислительной машине МИНСК — 2/22.

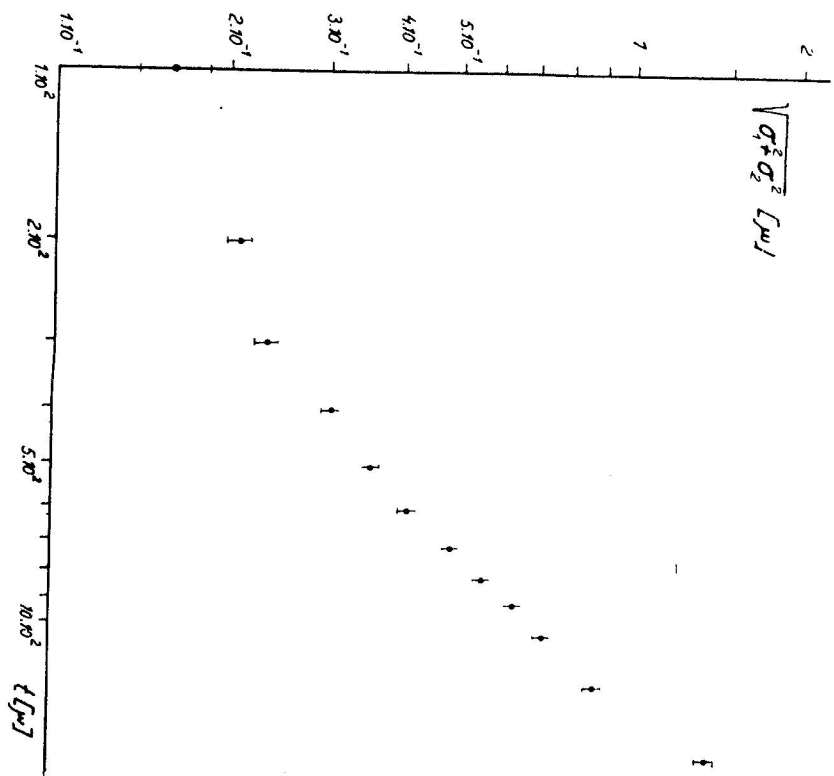
Входные данные вводились в машину с помощью пятипозиционной перфокарты в коде МИНСК — 2, или в международном телеграфном коде ССИТ. При этом в первую зону мы вписали порядковый номер трека, номер ампульсии, в которой проводились измерения, общее число измеренных величин и числа измеренных величин в отдельных ампульсиях. Во вторую зону мы вписали отдельные измеренные величины.

На фигуре 1 упрощенный вид блок-схемы программы, в которой мы обратили большое внимание на точность и надежность результатов. Этим цели мы добились с помощью трехкратной проверки перфорации и чтения перфокарты. Мы проверяли:

Фиг. 1. Блок-схема программы.



4. соответствие суммы измеренных величин в отдельных эмульсиях общему числу измеренных величин
 6. прочитала ли машина правильное число постоянных
 - в. соответствие контрольной суммы измеренных постоянных.
- Информация из машины выводилась с помощью печатающего устройства ТВРМ.
- Те же подсчеты проводились для десяти различных длин ячейки. Большие отклонения в величинах вторых разностей мы исключили с помощью т. наз. метода *cut off*, который мы применяли до тех пор, пока число неотрезанных вторых разностей не стало равняться повторно одинаковой величине.



Фиг. 2. Зависимость $\log(\sigma_1^2 + \sigma_2^2)^{1/2}$ от $\log l$.

а. ИЗМЕРЕНИЯ НА ПЕРВИЧНЫХ ТРЕКАХ

Задачей этих измерений была оценка величины P и определение r_2 и r_1 . Измерения проводились на 44 треках минимальной длины 2 см. Полная длина измеренного трека составляла 128 см. Подсчет вторых разностей проводился для длин ячеек от 100 μ по 1000 μ с шагом 100 μ . Далее нами определялись средние значения вторых разностей и средние квадратичные отклонения.

Проверка нормальности распределения ансамбля вторых разностей и зависимости среднего значения вторых разностей D от длины ячейки t показала хорошее согласие с теоретическими требованиями.

На рисунке 2 в логарифмическом масштабе показана зависимость $(\sigma_1^2 + \sigma_2^2)^{1/2}$ от t . К теоретическому значению углового коэффициента 1,5 приближается зависимость для ячеек 1000 μ .

Угловой коэффициент 1 получается в области значений от 700 μ по 800 μ . Результаты градуировки приведены в таблице 1.

Таблица 1

t [μ]	P	ΔP	P_2
1000	0,655	0,019	0,624
900	0,669	0,018	0,639
800	0,674	0,005	0,666
700	0,658	0,005	0,650
600	0,607	0,005	0,599

Значение P определялось из эксперимента. Значение ΔP подсчитывалось из формулы

$$\Delta P = \sqrt{\frac{P(1-P)}{N}}, \quad (10)$$

где N является полным числом вторых разностей. Значение r_2 нами определялось так, что для риска $r = 0,5$ принималось, что

$$P(r(P > r_2)) = 1 - r. \quad (11)$$

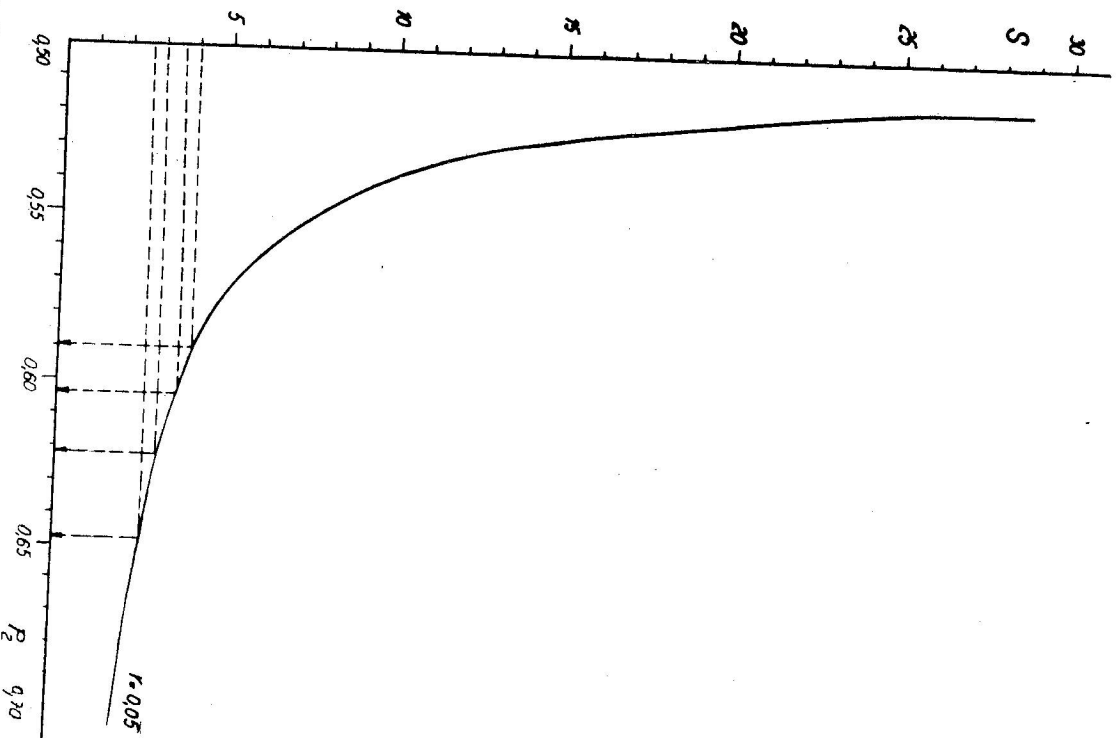
Для достаточно больших значений N имеет силу

$$r_2 = P - g\Delta P, \quad (12)$$

где $g = 1,65$.

224

Основные параметры, необходимые для последовательного анализа подсчитывались по формулам (6). Угловой коэффициент обеих прямых представляет 0,5 и величину параметра S можно определить из рисунка 3.



Фиг. 3. Зависимость r_2 от S для $r = 0,05$. Средние указывают интервалы значений, в которых последовательный анализ дает одинаковую процедуру.

Поскольку последовательность S_n имеет дискретные шаги, нам не нужны точные значения R_2 , но нас устраивает знание соответствующего интервала, указанного на рисунке 3. Результаты процедуры для всего ансамбля первичных треков приведены в таблице 2.

Таблица 2

z [μ]	L [см]	Решенные треки	Нерешенные треки
1000	1,72	25	19
900	1,78	27	17
800	1,43	29	15
700	1,53	35	9
600	1,86	17	27

L является средней длиной трека, в конце которого мы приняли решение о знаке заряда. Эта характеристика не является полной, так как мы не смогли принять решение для всех треков. Ориентировочно это значение можно сравнить с величиной, подсчитанной из (9), которая предельно ≈ 2 см для $t = 700 \mu$. Только в одном случае мы получили неравильный ответ, как будто частица первичного пучка имеет положительный знак.

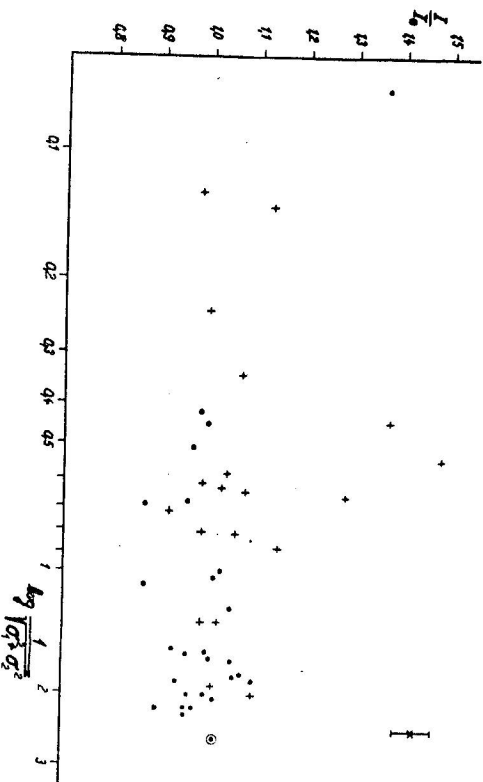
6. ИЗМЕРЕНИЯ НА ВТОРИЧНЫХ ТРЕКАХ

Измерения проводились на 60 вторичных треках. Помимо многогранного рассеяния нами измерялись еще углы эмиссии и ионизации. Соответственно результатам измерений на первичных треках мы ограничились длинами ячейки $t = 700 \mu$ и 800μ . Для обеих ячеек мы получили практически одинаковые результаты.

Основной ансамбль измеренных треков был разделен процедурой определения знака заряда на три подгруппы: положительная часть, отрицательная, и частота, у которых не удалось определить знак заряда. Мы получили 19 положительных частиц, 28 отрицательных, и в 15 случаях мы не определили знака заряда. Из этих 15 треков 6 оканчивались взаимодействием и остальные преждевременно выходили из блока эмульсий. В таких случаях, где это оказалось возможным, мы измеряли более длинные отрезки треков чем те, которые были необходимы для определения знака заряда. В единственном случае мы пришли к противоречию. Последовательность знаков вторичных разностей давала сначала результат в пользу одного знака заряда, а в последствии в пользу обратного знака.

Чтобы проверить эффективность метода, мы должны обратит внимание в первую очередь на те треки, о которых у нас есть дополнительная ин-

формация. Это прежде всего упругие рассеяния первичных мезонов на протонах, удовлетворяющих соответствующим критериям компланарности и углов эмиссии. Далее, это те треки, которые на основании зависимости I/I_0 на $\log(\sigma_1^2 + \sigma_2^2)^{-1/2}$ можно определить как протоны (смотри фиг. 4). Случаев упругого рассеяния оказалось 5. В трех случаях мы получили однозначный ответ в пользу отрицательного заряда вторичного мезона и в оставшихся двух случаях, обих с относительно большим Δ , мы не получили окончательного решения. Треков, лежащих на протонной части кривой Штернгеймера (фиг. 4), было 4, и все дали положительный результат. В пользу идентификации треков как протонов говорит также факт, что их угол с направлением первичного трека был меньше 10° . Среди треков, для которых мы не получили окончательного решения, находилось 7 треков с углом $\Delta > 5^\circ$. Это связано с фактом, что относительно круто идущие частицы с большей вероятностью вылетают из блока эмульсий, а также с тем, что здесь уже проявляется возрастание σ_2 с увеличением Δ . Другими словами, проявляется влияние т. наз. Дисторсии фотографической эмульсии. Метод можно применить и в этом случае, но если мы хотим сохранить уровень риска, то мы должны вновь определить R_2 . Наш экспериментальный материал не дает возможность для такой более подробной проверки.



Фиг. 4. Зависимость ионизации вторичных треков, деленной ионизацией первичного трека, от $\log(\sigma_1^2 + \sigma_2^2)^{-1/2}$. В углу указаны ошибки измерения ионизации. Крестиками обозначаются положительные частицы, точками отрицательные. Кружок указывает первичный пучок.

ЗАКЛЮЧЕНИЕ

На основании экспериментального материала мы проверили в нашей работе возможность определения знака заряда релативистской частицы из последовательности знаков вторых разностей с заранее данным уровнем риска.

Оказывается, что этот способ применим для эмульсионного материала, экспонированного в магнитном поле средней интенсивности. Это свидетельствует одновременно о методической ценности такого облечения, которое относительно мало используется.

В заключение можно привести основные результаты нашей работы:

1. Метод позволяет работать с треком, разбитым на отрезки, которые возникают при переходах из одного слоя эмульсии в другой;

2. Поскольку метод относительно мало чувствителен на величину вероятности P , его можно сравнительно легко применить также для неоднородного магнитного поля;

3. Деление трека на некоторое число отрезков снижает влияние одного крайнего расценивания на большой угол;

4. Результаты получаются с количественной мерой риска совершить ошибку при определении знака заряда частицы;

5. Число измерений, необходимое для получения окончательного результата для данной меры риска минимально.

Наконец мы хотим поблагодарить весь коллектив Кафедры ядерной физики факультета естественных наук Кошицкого университета, руководимый профессором Ю. Дубинским, а именно А. Колибарову, В. Сикешову, М. Шабикову, М. Шпагелкову, и А. Тога за помощь при проведении работ.

ЛИТЕРАТУРА

- [1] Barkas W. H., *Nuclear Research Emulsions*. Academic Press, New York 1963.
- [2] Moyal J. E., *Phil. Mag.*, Ser. 7, 41 (1950), 1058.
- [3] Dilworth C. S. et al., *Phil. Mag.*, Ser. 7, 41 (1950), 1032.
- [4] Граменицкий И. М., Корбель З., Руб Д., Приб. техн. эконер. 1 (1964), 42.
- [5] Van der Warden V. L., *Mathematische Statistik*. Springer Verlag, Berlin 1957.
- [6] Вальд А., *Последовательный анализ*. ФИЗМАТ, Москва 1960.
- [7] Fabián V., *Základní statistické metody*. Nakladatelství ČSAV, Praha 1963.

Получено в Редакцию 13 июня 1967 г.

*Katedra jadrovej fyziky
Prírodovedeckej fakulty UPJŠ,
Košice*